

Optimasi Proses *Engraving* Kayu Mahoni dengan Mata Pahat *Conical* 3 mm pada Mesin CNC Router G-Weike WK1212 Menggunakan Metode *Full Factorial Design* dan Optimasi Plot Multi Respon

Dewa Kusuma Wijaya¹, Tita Talitha², Nur Alfathan Banoel³

^{1,2,3)} Fakultas Teknik, Program Studi Teknik Industri, Universitas Dian

Nuswantoro Jl. Nakula I no.5-11 Pendrikan Kidul, Semarang, 50131

Email: dewa.kuja@dsn.dinus.ac.id, tita.talitha@dsn.dinus.ac.id

ABSTRAK

Penelitian ini merupakan penelitian lanjutan dari penelitian sebelumnya terkait optimasi proses ukir (*engraving*) dengan objek yang sama yaitu material kayu mahoni yang diproses dengan mesin CNC Router G-Weike WK1212 dan mata pahat jenis *Conical* ukuran 3 mm menggunakan metode Taguchi. Pada penelitian ini metode optimasi yang digunakan adalah *Full Factorial Design* dengan optimasi plot multirespon, dimana penggunaan metode tersebut juga mengacu pada hasil penelitian sebelumnya namun implementasinya diterapkan pada proses potong (*cutting*) dengan mata pahat jenis *End Mill* 3 mm menggunakan mesin CNC Router dan material kayu yang sama. Tujuan dari penelitian ini ada 2, pertama adalah membandingkan nilai optimalitas dari implementasi metode *Full Factorial Design* - optimasi plot multirespon dengan hasil implementasi metode Taguchi sebelumnya. Kedua, mengetahui apakah hasil optimal dari implementasi metode *Full Factorial Design* dengan optimasi plot multirespon untuk proses *engraving* menggunakan mata pahat *Conical* 3 mm dapat sama dengan pada proses *cutting* menggunakan mata pahat *End Mill* 3mm. Hasil dari penelitian ini diketahui bahwa level setting optimal dari hasil metode *Full Factorial Design* dengan optimasi plot multi respon adalah kecepatan *spindle* 7 step, kecepatan *motion* 5 step dan *depth per cut* 0.5 mm.

Kata Kunci: *Full Factorial Design*, optimasi plot multi respon, *engraving*, *Conical* 3 mm, CNC Router

ABSTRACT

This research is a follow-up study from previous research related to the optimization of the engraving process with the same object, mahogany wood processed with the G-Weike WK1212 CNC Router machine and 3 mm Conical bit using Taguchi method. In this research, the optimization method used is Full Factorial Design with multiresponse plots optimization, where the use of this method also refers to the results of previous studies but its implementation is applied to the cutting process with a 3 mm End Mill bit using a CNC Router machine and wood material, the same one. The purpose of this study is 2, the first is to compare the optimality value of the implementation Full Factorial Design method - multiresponse plots optimization with the results of the previous implementation of the Taguchi method. Second, knowing whether the optimal results from the implementation of the Full Factorial Design method with multiresponse plots optimization for the engraving process using a 3 mm Conical bit can be the same as in the cutting process using a 3mm End Mill bit. The results of this study are known that the optimal level settings from Full Factorial Design method with optimization of multi response plots are spindle speed 7 steps, motion speed 5 steps and depth

per cut 0.5 mm.

Keywords: Full Factorial Design, multi response plots optimization, engraving, Conical 3 mm, CNC Router

Pendahuluan

Penelitian ini dilakukan terhadap mesin CNC Router WK1212 oleh karena tidak adanya tabulasi setting proses permesinan dari mesin tersebut, terutama untuk setting kecepatan putaran motor (*spindle*), kecepatan gerak (*motion*) dan kedalaman per layer potong (*depth per cut*) untuk berbagai macam proses permesinan yang dapat dilakukan dari mesin tersebut. Mesin CNC Router WK1212 ini seperti halnya mesin CNC Router secara umum yang mampu memproses potong (*cutting*) dan ukir (*engraving*) untuk berbagai jenis material dengan tingkat kekerasan rendah hingga medium seperti kayu solid, kayu laminasi, multiplek (*plyboard*), kayu partikel (LDF/MDF/HDF), polikarbonat, pvc board, akrilik, dan lain sebagainya menggunakan berbagai jenis mata pahat dengan berbagai ukuran khusus mesin router yaitu *Conical*, *End Mill*, *Ball Mill*, *V-Grove*, *Round Mill*, *Dove Tail*, dan lain sebagainya. Pada penelitian ini akan dilakukan optimasi untuk setting proses permesinan *engraving* pada mesin CNC Router G-Weike WK1212 menggunakan material kayu mahoni dengan mata pahat jenis *Conical* berdiameter 3 mm. Perlu diketahui bahwa khusus proses *engraving* biasanya mata pahat yang sering digunakan adalah jenis *Conical* dan *V-Grove*, hal ini dikarenakan bentuk dari mata pahat tersebut yang menyerupai jarum ataupun segitiga dengan ujung meruncing. Desain mata pahat tersebut sangat sesuai untuk digunakan pada proses *engraving*, namun tidak tepat apabila dipergunakan untuk proses *cutting*. Besar kecilnya hasil ukuran dari ukiran tergantung dari besaran dimensi sudut ujung mata pahat tersebut, semakin besar sudutnya maka hasil ukiran yang dihasilkan menjadi tampak besar, begitu juga sebaliknya.

Penelitian ini merupakan lanjutan dari 2 penelitian sebelumnya. Penelitian sebelumnya telah dilakukan optimasi untuk proses *cutting* kayu mahoni menggunakan mata pahat jenis *End Mill* ukuran 3 mm dengan mesin CNC Router yang sama, dimana pada penelitian tersebut digunakan metode optimasi berbasis *Design of Experiment* (DoE) yaitu *Full Factorial Design* dengan optimasi plot multirespon Herwin dan Dowa [1]. Penelitian berikutnya dilakukan optimasi untuk proses *engraving* kayu mahoni menggunakan mata pahat jenis *Conical* ukuran 3 mm dengan mesin yang sama juga, namun pada penelitian tersebut menggunakan metode optimasi Taguchi Nur, A.B., et al. [4]. Metode Taguchi sendirijuga telah diterapkan di dalam optimasi untuk proses permesinan mesin injeksi Wahjudi dan San [7]. Implementasi terkait dengan proses *cutting* pada mesin CNC milling metode Taguchi mampu dikombinasikan dengan metode *Response Surface* terhadap material proses P20 steel Vishnu, V.M., et al. [5] dan kemudian pada tahun berikutnya oleh peneliti yang sama metode optimasi berbasis *metaheuristic* yaitu *Artificial Neural Network* (ANN) diimplementasikan pada mesin CNC milling untuk memproses terhadap material yang sama Vishnu, V.M., et al. [6]. Terkait metode *Response Surface*, dapat pula diterapkan pada mesin CNC turning untuk proses material alumunium berjenis Al/Al₂O₃ Nataraj, M., et al. [3]. Metode-metode optimasi berbasis *Design of Experiment* dalam implementasinya mengharuskan peneliti untuk dapat menentukan faktor, level dan respon terlebih dahulu agar dapat ditentukan jumlah sampel yang ideal Montgomery, C.D. [2]. Di lain sisi tujuan dari *Design of Experiment* adalah mengurangi jumlah pengujian dengan pertimbangan efisiensi *resources* namn tetap mengedepankan efektifitas di dalam mencari solusi optimal. Gambar 1 berikut adalah fisik dari mesin CNC Router G-Weike WK1212.



Gambar 1. Mesin CNC Router G-Weike WK1212

Terdapat 2 tujuan dari penelitian ini, pertama adalah membandingkan nilai seting optimal untuk proses *engraving* kayu mahoni dengan mata pahat jenis *Conical* 3 mm dari hasil penelitian sebelumnya menggunakan metode Taguchi dengan metode penelitian saat ini yaitu *Full Factorial Design* dengan optimasi plot multirespon. Kedua, adalah membandingkan implementasi metode *Full Factorial Design* dengan optimasi plot multiresponnya dari hasil penelitian sebelumnya untuk proses *cutting* material kayu mahoni menggunakan mata pahat *End Mill* 3 mm dengan penelitian saat ini untuk proses *engraving* material kayu mahoni menggunakan mata pahat *Conical* 3 mm.

Penekanan terkait penggunaan mata pahat tersebut dikarenakan jenis mata pahat tersebut memang diperuntukan untuk tujuan proses *engraving* atau pahat. Hasil dari penelitian ini selanjutnya dapat menjadi acuan tabulasi level seting dari mesin CNC Router WK1212 untuk proses *engraving* pada material kayu mahoni menggunakan mata pahat jenis *Conical* ukuran 3 mm, selanjutnya dengan adanya acuan tabulasi seting tersebut dapat mengurangi proses seting mesin yang selama ini dilakukan secara *trial error* yang terindikasi dapat mengurangi efisiensi dan kualitas proses permesinan.

Metode Penelitian

Struktur dari penelitian ini terangkum sebagai berikut:

1. Optimasi yang digunakan adalah berbasis *Design of Experiment* (DoE) dengan memanfaatkan metode *Full Factorial Design* dan optimasi plot multi respon. Adapun model matematis yang akan di-generate dari pemanfaatan metode tersebut adalah sebagai berikut:

$$Y = \alpha_0 + \alpha_1 X_1 + \alpha_2 X_2 + \dots + \alpha_p X_1 X_2 \dots X_k \quad (1)$$

Dimana: Y = Respon

α_0 = Koefisien *intercept*

$X_1, X_2 \dots X_k$ = Faktor

$\alpha_1, \alpha_2 \dots \alpha_p$ = Koefisien faktor dan interaksi

Menggunakan metode tersebut maka jumlah sampel uji akan dihasilkan adalah sebanyak 98 sampel. Sampel uji yang diterapkan berbentuk logo pada gambar 2.



Gambar 2. Sampel Uji Proses *Engraving*

Penentuan faktor, *level* dan respon. Faktor yang digunakan dalam penelitian ini adalah *spindle speed*, *motion speed* dan *depth per layer cut*. Respon adalah hasil dari perlakuan faktor terhadap komposisi *level*-nya, adapun parameter multi respon dari penelitian ini meliputi waktu proses aktual, total *depth of cut*, *length*, *width*, dan temperatur mata pahat. Faktor merupakan variabel keputusan yang kemudian akan mempengaruhi respon, sedangkan respon sendiri merupakan hasil dari *treatment* dari faktor berdasarkan komposisi *level*. *Level* yang diunakan dari penelitian ini ditunjukkan pada tabel 1.

Tabel 1. Variabel dan *Level*

Faktor	Variabe 1	Leve l
<i>Depth per layer cut</i>	X_1	0,25 mm - 0,5 mm
<i>Spindle speed</i>	X_2	2, 3, 4, 5, 6, 7, 8 DSP Controller Step
<i>Motion speed</i>	X_3	1, 2, 3, 4, 5, 6, 7 DSP Controller Step

2. Pemilihan objek proses berupa jenis dan dimensi dari mata pahat beserta material kerja proses. Mata pahat yang digunakan adalah berjenis *conical* dengan ukuran dimensi *shank* 3 mm. Pemilihan jenis mata pahat tersebut dikarenakan mata pahat jenis *conical* sesuai untuk kebutuhan proses *engraving*. Material kerja yang digunakan adalah kayu berjenis mahoni.
3. Penentuan *instrument* ukur respon. Berikut adalah alat ukur yang digunakan untuk mengukur setiap sampel ji berdasarkan parameter multi respon yang diterapkan pada penelitian ini.
 - a. *Stopwatch*, digunakan dalam pengukuran waktu proses aktual *engraving*.
 - b. *Vernier caliper 12"* merk Mitutoyo tipe 500-193-30, digunakan dalam pengukuran dimensi aktual dari sampel uji dari *length* dan *width*.
 - c. *Depth gauge* merk Insize tipe 6140, pengukuran total *depth of cut* dari sampel uji.
 - d. *Infrared thermometer* merk Fluke tipe 568, pengukuran temperatur pahat *conical* 3 mm.
4. Optimasi plot multi respon. Setelah 98 sampel uji diperoleh nilai hasil respon dari keseluruhan parameternya, selanjutnya dilakukan formiasi model matematis dan kemudian optimasi plot multi respon untuk mengetahui nilai optimal dari faktor. Tujuannya adalah agar diperoleh nilai setting yang ideal dari hasil implementasi metode *Full Factorial Design* dengan optimasi plot multi respon, sehingga dari hasil nilai setting tersebut dapat menjadi acuan tabulasi setting optimal untuk proses *engraving* kayu mahoni menggunakan mata pahat *conical* 3 mm.

Hasil dan Pembahasan

A. Hasil Uji Komposisi

Hasil pengujian sebanyak 98 kombinasi yang telah dilakukan menggunakan 3 jenis faktor dan 4 jenis respon parameter berdasarkan kombinasi komposisi level faktor pengujian yang

telah ditetapkan dengan metode *Full Factorial Design* ditunjukkan pada Tabel 2.

Tabel 2. Hasil Respon

No Uji	Spindle (step)	Motion (step)	Depth per Cut (mm)	Waktu (menit)	Total Depth (cm)	Panjang (cm)	Lebar (cm)	Suhu (°C)
1	2	1	0.25	47.53	0.45	5.1	5.1	35.4
2	3	1	0.25	47.53	0.57	5.1	5.1	35.7
3	4	1	0.25	47.54	0.29	5.1	5.1	36.2
4	5	1	0.25	47.54	0.26	5.2	5.2	36.4
5	6	1	0.25	47.52	0.31	5.15	5.1	37
6	7	1	0.25	47.35	0.58	5.1	5.2	35.8
7	8	1	0.25	47.47	0.37	5.1	5.1	36.9
8	2	2	0.25	24.05	0.81	5.1	5.2	36.8
9	3	2	0.25	24.12	0.3	5.2	2.5	36.6
10	4	2	0.25	24.11	0.4	5.2	5.2	36.8
11	5	2	0.25	25.1	0.82	5.1	5.25	35.3
12	6	2	0.25	24.05	0.25	5.1	5.15	35.8
13	7	2	0.25	24.03	0.54	5.2	5.2	36.5
14	8	2	0.25	24.9	0.35	5.2	5.2	36.2
15	2	3	0.25	16.13	0.52	5.15	5.2	35.5
16	3	3	0.25	16.09	0.36	5.2	5.15	36
17	4	3	0.25	16.12	0.45	5.15	5.2	35.9
18	5	3	0.25	16.1	0.82	5.15	5.25	36.3

Lanjutan Tabel 2. Hasil Respon

No III	Spindle (step)	Motion (step)	Depth per Cut (mm)	Waktu (menit)	Total Depth (cm)	Panjang (cm)	Lebar (cm)	Suhu (°C)
19	6	3	0.25	16.11	0.64	5.15	5.15	36.2
20	7	3	0.25	16.11	0.25	5.15	5.1	35.7
21	8	3	0.25	16.08	0.4	5.2	5.2	36.2
22	2	4	0.25	12.1	0.36	5.1	5.2	35.9
23	3	4	0.25	12.16	0.41	5.1	5	36.7
24	4	4	0.25	12.14	0.41	5.2	5.2	36.4
25	5	4	0.25	12.16	0.25	5.1	5.1	36.3
26	6	4	0.25	12.16	0.46	5.15	5.15	36.8
27	7	4	0.25	12.13	0.49	5.15	5.1	36.5
28	8	4	0.25	12.15	0.83	5.2	5.2	36.9
29	2	5	0.25	9.39	0.39	5.2	5.15	34.8
30	3	5	0.25	9.47	0.39	5.1	5.15	34.5
31	4	5	0.25	9.49	0.33	5.1	5.1	34.9
32	5	5	0.25	9.48	0.6	5.2	5.1	35.2
33	6	5	0.25	9.44	0.8	5.15	5.15	34.8
34	7	5	0.25	9.39	0.76	5.1	5.15	34.7
35	8	5	0.25	9.41	0.6	5.15	5.2	34.1
36	2	6	0.25	8.05	0.5	5.2	5.25	36.3
37	3	6	0.25	8.08	0.44	5.1	5.2	36.9
38	4	6	0.25	8.11	0.3	5.1	5.1	36.7
39	5	6	0.25	8.12	0.32	5.15	5.1	36.5
40	6	6	0.25	8.09	0.25	5.15	5.1	36.2
41	7	6	0.25	8.11	0.67	5.2	5.2	36.8
42	8	6	0.25	8.06	0.26	5	5.1	36.1
43	2	7	0.25	7.05	0.9	5.15	5.15	36.9
44	3	7	0.25	7.1	0.45	5.15	5.15	36.7
45	4	7	0.25	7.03	0.37	5.2	5.1	36.5
46	5	7	0.25	7.07	0.7	5.1	5.15	35.9
47	6	7	0.25	7.1	0.25	5.1	5.1	35.5
48	7	7	0.25	7.1	0.44	5.15	5.15	35.8
49	8	7	0.25	7.1	0.38	5.1	5.2	36.3
50	2	1	0.5	42.5	0.67	5.25	5.15	34.5
51	3	1	0.5	42.5	0.54	5.25	5.25	34.8
52	4	1	0.5	42.5	0.8	5.25	5.2	34.6
53	5	1	0.5	42.5	0.89	5.25	5.2	34.1
54	6	1	0.5	42.5	0.53	5.25	5.2	32.9
55	7	1	0.5	42.5	0.61	5.2	5.25	33.4
56	8	1	0.5	42.4	0.55	5.3	5.35	33.6
57	2	2	0.5	21.2	0.75	5.15	5.25	34.8
58	3	2	0.5	21.2	0.58	5.25	5.25	34.5
59	4	2	0.5	21.2	0.62	5.2	5.2	34.2
60	5	2	0.5	21.2	0.7	5.2	5.2	35.9
61	6	2	0.5	21.2	0.52	5.2	5.25	35.7
62	7	2	0.5	21.2	0.55	5.15	5.25	36.8
63	8	2	0.5	21.2	0.75	5.2	5.25	35.9
64	2	3	0.5	14.11	0.51	5.2	5.2	33.9

Lanjutan **Tabel 2.** Hasil Respon

No Uji	<i>Spindl e</i>	<i>Motio n</i>	<i>Depth per</i>	Waktu	Total <i>Depth</i>	Panjan g	Leba r	Suhu
65	3	3	0.5	14.11	0.62	5.25	5.2	33.3
66	4	3	0.5	14	0.64	5.25	5.2	34.4
67	5	3	0.5	14.13	0.7	5.3	5.2	33.5
68	6	3	0.5	14.11	0.73	5.15	5.15	32.7
69	7	3	0.5	14.11	0.52	5.25	5.2	35
70	8	3	0.5	14.27	0.5	5.25	5.2	33.7
71	2	4	0.5	10.4	0.56	5.2	5.15	33.1
72	3	4	0.5	10.4	0.5	5.2	5.2	33.8
73	4	4	0.5	10.46	0.61	5.15	5.2	33.4
74	5	4	0.5	10.5	0.7	5.2	5.2	33.5
75	6	4	0.5	10.51	0.63	5.2	5.2	34.1
76	7	4	0.5	10.52	0.52	5.2	5.2	33.7
77	8	4	0.5	10.47	0.63	5.15	5.15	33.1
78	2	5	0.5	8.38	0.57	5.2	5.15	33.1
79	3	5	0.5	8.38	0.53	5.25	5.15	33.3
80	4	5	0.5	8.4	0.55	5.2	5.25	33.5
81	5	5	0.5	8.43	0.5	5.3	5.2	33.6
82	6	5	0.5	8.37	0.6	5.35	5.2	33.4
83	7	5	0.5	8.37	0.26	5.15	5.15	33.6
84	8	5	0.5	8.37	0.5	5.2	5.2	34.4
85	2	6	0.5	7.05	0.61	5.25	5.25	33.7
86	3	6	0.5	7.05	0.5	5.2	5.2	34
87	4	6	0.5	7.3	0.61	5.2	5.25	33
88	5	6	0.5	7.05	0.52	5.2	5.2	33.4
89	6	6	0.5	7.3	1.02	5.25	5.25	33.4
90	7	6	0.5	7.3	0.53	5.2	5.25	33.7
91	8	6	0.5	7.3	0.71	5.2	5.25	33.6
92	2	7	0.5	6.19	0.77	5.25	5.25	33.1
93	3	7	0.5	6.19	0.8	5.2	5.15	32.5
94	4	7	0.5	6.19	0.52	5.15	5.2	33.4
95	5	7	0.5	6.19	0.54	5.2	5.15	34.6
96	6	7	0.5	6.19	0.5	5.2	5.25	33.3
97	7	7	0.5	6.19	0.68	5.15	5.2	34
98	8	7	0.5	6.19	0.67	5.25	5.2	33.1

Hasil pengujian terkait kombinasi komposisi pada Tabel 2 di atas, diukur tiap parameternya menggunakan bantuan alat-alat ukur yang telah ditentukan sebelumnya sebagai instrument penelitian. Peralatan ukur tersebut juga telah terstandarisasi dan terkalibrasi sebagai alat ukur yang sesuai digunakan dalam instrument riset sehingga hasil pengukurannya dapat memberikan hasil yang optimal dan dipertanggungjawabkan..

B. Formulasi Model Matematis

Hasil uji tiap kombinasi dari komposisi *level* faktor pada Tabel 2 selanjutnya akan dilakukan pemodelan secara matematis untuk pada setiap parameter responnya, model matematis dari metode *Full Factorial Design* yang diperoleh ditunjukkan pada Tabel 3 berikut.

Tabel 3. Model Matematis *Full Factorial Design*

Parameter	Respon (Y)	Model Matematis
		$16.7055 + 0.018 X_{1_2} + 0.036 X_{1_3} + 0.051 X_{1_4} + 0.118 X_{1_5} - 0.368 X_{1_6} + 0.038 X_{1_7} + 0.107 X_{1_8} + 28.286 X_{2_1} + 6.063 X_{2_2} - 1.595 X_{2_3} - 5.401 X_{2_4} - 7.793 X_{2_5} - 9.065 X_{2_6} - 10.495 X_{2_7} + 1.1072 X_{3_0.25} - 1.1072 X_{3_0.50} + 0.005 X_{1X2_2 1} - 0.162 X_{1X2_2 2} - 0.008 X_{1X2_2 3} - 0.072 X_{1X2_2 4} - 0.045 X_{1X2_2 5} - 0.109 X_{1X2_2 6} + 0.391 X_{1X2_2 7} - 0.012 X_{1X2_3 1} - 0.145 X_{1X2_3 2} - 0.046 X_{1X2_3 3} - 0.060 X_{1X2_3 4} - 0.023 X_{1X2_3 5} - 0.112 X_{1X2_3 6} + 0.398 X_{1X2_3 7} - 0.022 X_{1X2_4 1} - 0.165 X_{1X2_4 2} - 0.101 X_{1X2_4 3} - 0.055 X_{1X2_4 4} - 0.018 X_{1X2_4 5} + 0.013 X_{1X2_4 6} + 0.348 X_{1X2_4 7} - 0.090 X_{1X2_5 1} + 0.263 X_{1X2_5 2} - 0.132 X_{1X2_5 3} - 0.093 X_{1X2_5 4} - 0.076 X_{1X2_5 5} - 0.174 X_{1X2_5 6} + 0.301 X_{1X2_5 7} + 0.387 X_{1X2_6 1} + 0.225 X_{1X2_6 2} + 0.368 X_{1X2_6 3} + 0.399 X_{1X2_6 4} + 0.361 X_{1X2_6 5} + 0.422 X_{1X2_6 6} - 2.161 X_{1X2_6 7} - 0.105 X_{1X2_7 1} - 0.192 X_{1X2_7 2} - 0.038 X_{1X2_7 3} - 0.017 X_{1X2_7 4} - 0.070 X_{1X2_7 5} + 0.026 X_{1X2_7 6} + 0.396 X_{1X2_7 7} - 0.163 X_{1X2_8 1} + 0.175 X_{1X2_8 2} - 0.042 X_{1X2_8 3} - 0.101 X_{1X2_8 4} - 0.129 X_{1X2_8 5} - 0.067 X_{1X2_8 6} + 0.327 X_{1X2_8 7} - 0.074 X_{1X3_2 0.25} + 0.074 X_{1X3_2 0.50} - 0.056 X_{1X3_3 0.25} + 0.056 X_{1X3_3 0.50} - 0.072 X_{1X3_4 0.25} + 0.072 X_{1X3_4 0.50} + 0.008 X_{1X3_5 0.25} - 0.008 X_{1X3_5 0.50} + 0.337 X_{1X3_6 0.25} - 0.337 X_{1X3_6 0.50} - 0.105 X_{1X3_7 0.25} + 0.105 X_{1X3_7 0.50} - 0.038 X_{1X3_8 0.25} + 0.038 X_{1X3_8 0.50} + 1.399 X_{2X3_1 0.25} - 1.399 X_{2X3_1 0.50} + 0.461 X_{2X3_2 0.25} - 0.461 X_{2X3_2 0.50} - 0.112 X_{2X3_3 0.25} + 0.112 X_{2X3_3 0.50} - 0.269 X_{2X3_4 0.25} + 0.269 X_{2X3_4 0.50} - 0.581 X_{2X3_5 0.25} + 0.581 X_{2X3_5 0.50} - 0.659 X_{2X3_6 0.25} + 0.659 X_{2X3_6 0.50} - 0.240 X_{2X3_7 0.25} + 0.240 X_{2X3_7 0.50}$
Waktu		
Proses		
Aktual		

Lanjutan **Tabel 3.** Model Matematis *Full Factorial Design*

Respon Paramete r(Y)	Model Matematis
Panjan g (Length) Hasil Proses	$ \begin{aligned} & 5.179 - 0.000510 X1_2 + 0.003061 X1_3 - 0.004082 X1_4 + 0.01020 X1_5 + 0.003061 X1_6 - \\ & 0.01122 X1_7 - 0.000510 X1_8 + 0.006633 X2_1 - 0.004082 X2_2 + 0.02092 X2_3 - \\ & 0.01480 X2_4 + 0.01020 X2_5 - 0.007653 X2_6 - 0.01122 X2_7 - 0.03724 X3_0.25 + \\ & 0.03724 X3_0.50 - 0.01020 X1X2_2 1 - 0.04949 X1X2_2 2 - 0.02449 X1X2_2 3 - 0.01378 \\ & X1X2_2 4 + 0.01122 \\ & X1X2_2 5 + 0.05408 X1X2_2 6 + 0.03265 X1X2_2 7 - 0.01378 X1X2_3 1 + 0.04694 X1X2_3 2 + \\ & 0.02194 X1X2_3 3 - 0.01735 X1X2_3 4 - 0.01735 X1X2_3 5 - 0.02449 X1X2_3 6 + 0.004082 \\ & X1X2_3 7 - 0.006633 X1X2_4 1 + 0.02908 X1X2_4 2 + 0.004082 X1X2_4 3 + 0.01480 X1X2_4 4 \\ & - 0.03520 X1X2_4 5 - 0.01735 X1X2_4 6 + 0.01122 X1X2_4 7 + 0.02908 X1X2_5 1 - 0.03520 \\ & X1X2_5 2 + 0.01480 X1X2_5 3 - 0.02449 X1X2_5 4 + 0.05051 X1X2_5 5 - 0.006633 X1X2_5 6 - \\ & 0.02806 X1X2_5 7 + 0.01122 X1X2_6 1 - 0.02806 X1X2_6 2 - 0.05306 X1X2_6 3 + 0.007653 \\ & X1X2_6 4 + 0.05765 X1X2_6 5 + 0.02551 X1X2_6 6 - 0.02092 X1X2_6 7 - 0.02449 X1X2_7 1 + \\ & 0.01122 X1X2_7 2 + 0.01122 X1X2_7 3 + 0.02194 X1X2_7 4 - 0.05306 X1X2_7 5 + 0.03980 \\ & X1X2_7 6 - 0.006633 X1X2_7 7 + 0.01480 X1X2_8 1 + 0.02551 X1X2_8 2 + 0.02551 X1X2_8 3 \\ & + 0.01122 X1X2_8 4 - 0.01378 X1X2_8 5 - 0.07092 X1X2_8 6 + 0.007653 X1X2_8 7 + 0.001531 \\ & X1X3_2 0.25 - 0.001531 X1X3_2 0.50 - 0.009184 X1X3_3 0.25 + 0.009184 X1X3_3 0.50 + \\ & 0.01224 X1X3_4 0.25 - 0.01224 X1X3_4 0.50 - 0.009184 X1X3_5 0.25 + 0.009184 X1X3_5 0.50 \\ & - 0.009184 X1X3_6 0.25 + 0.009184 X1X3_6 0.50 + 0.01939 X1X3_7 0.25 - 0.01939 X1X3_7 \\ & 0.50 - 0.005612 X1X3_8 0.25 + 0.005612 X1X3_8 0.50 - 0.02704 X2X3_1 0.25 + 0.02704 \\ & X2X3_1 0.50 + 0.01939 X2X3_2 0.25 - 0.01939 X2X3_2 0.50 + 0.001531 X2X3_3 0.25 - \\ & 0.001531 X2X3_3 0.50 + 0.01582 X2X3_4 0.25 - 0.01582 X2X3_4 0.50 - 0.009184 X2X3_5 0.25 \\ & + 0.009184 X2X3_5 0.50 - 0.005612 X2X3_6 0.25 + 0.005612 X2X3_6 0.50 + 0.005102 X2X3_7 \\ & 0.25 - 0.005102 X2X3_7 0.50 - 0.01224 X1X2X3_2 1 0.25 + 0.01224 X1X2X3_2 1 0.50 - \\ & 0.008673 X1X2X3_2 2 0.25 + 0.008673 X1X2X3_2 2 0.50 + 0.009184 X1X2X3_2 3 0.25 - \\ & 0.009184 X1X2X3_2 3 0.50 - 0.03010 X1X2X3_2 4 0.25 + 0.03010 X1X2X3_2 4 0.50 + 0.04490 \\ & X1X2X3_2 5 0.25 - 0.0449 X1X2X3_2 5 0.50 + 0.01633 X1X2X3_2 6 0.25 - 0.01633 X1X2X3_2 \\ & 6 0.50 - 0.01939 X1X2X3_2 7 0.25 + 0.01939 X1X2X3_2 7 0.50 - 0.001531 X1X2X3_3 1 0.25 + \\ & 0.001531 X1X2X3_3 1 0.50 + 0.002041 X1X2X3_3 2 0.25 - 0.002041 X1X2X3_3 2 0.50 + \\ & 0.01990 X1X2X3_3 3 0.25 - 0.01990 X1X2X3_3 3 0.50 - 0.01939 X1X2X3_3 4 0.25 + 0.01939 \\ & X1X2X3_3 4 0.50 - 0.01939 X1X2X3_3 5 0.25 + 0.01939 X1X2X3_3 5 0.50 + 0.002041 \\ & X1X2X3_3 6 0.25 - 0.002041 X1X2X3_3 6 0.50 + 0.01633 X1X2X3_3 7 0.25 - 0.01633 \\ & X1X2X3_3 7 0.50 - 0.02296 X1X2X3_4 1 0.25 + 0.02296 X1X2X3_4 1 0.50 + 0.005612 \\ & X1X2X3_4 2 0.25 - 0.005612 X1X2X3_4 2 0.50 - 0.02653 X1X2X3_4 3 0.25 + 0.02653 \\ & X1X2X3_4 3 0.50 + 0.03418 X1X2X3_4 4 \\ & 0.25 - 0.03418 X1X2X3_4 4 0.50 - 0.01582 X1X2X3_4 5 0.25 + 0.01582 X1X2X3_4 5 0.50 - \\ & 0.01939 X1X2X3_4 6 0.25 + 0.01939 X1X2X3_4 6 0.50 + 0.04490 X1X2X3_4 7 0.25 - 0.04490 \\ & X1X2X3_4 7 0.50 + 0.04847 X1X2X3_5 1 0.25 - 0.04847 X1X2X3_5 1 0.50 - 0.02296 X1X2X3_5 \\ & 2 0.25 + 0.02296 X1X2X3_5 2 0.50 - 0.03010 X1X2X3_5 3 0.25 + 0.03010 X1X2X3_5 3 0.50 - \\ & 0.01939 X1X2X3_5 4 0.25 + 0.01939 X1X2X3_5 4 0.50 + 0.005612 X1X2X3_5 5 0.25 - 0.005612 \\ & X1X2X3_5 5 0.50 + 0.02704 X1X2X3_5 6 0.25 - 0.02704 X1X2X3_5 6 0.50 - 0.008673 \\ & X1X2X3_5 7 0.25 + 0.008673 X1X2X3_5 7 0.50 + 0.02347 X1X2X3_6 1 0.25 - 0.02347 \\ & X1X2X3_6 1 0.50 - 0.02296 X1X2X3_6 2 0.25 + 0.02296 X1X2X3_6 2 0.50 + 0.04490 \\ & X1X2X3_6 3 0.25 - 0.04490 X1X2X3_6 3 0.50 + 0.005612 X1X2X3_6 4 0.25 - 0.005612 \\ & X1X2X3_6 4 0.50 - 0.04439 X1X2X3_6 5 0.25 + 0.04439 X1X2X3_6 5 0.50 + 0.002041 \\ & X1X2X3_6 6 0.25 - 0.002041 X1X2X3_6 6 0.50 - 0.008673 X1X2X3_6 7 0.25 + 0.008673 \\ & X1X2X3_6 7 0.50 - 0.005102 X1X2X3_7 1 0.25 + 0.005102 X1X2X3_7 1 0.50 + 0.02347 \\ & X1X2X3_7 2 0.25 - 0.02347 X1X2X3_7 2 0.50 - 0.03367 X1X2X3_7 3 0.25 + 0.03367 X1X2X3_7 \\ & 3 0.50 - 0.02296 X1X2X3_7 4 0.25 + 0.02296 X1X2X3_7 4 0.50 + 0.002041 X1X2X3_7 5 0.25 - \\ & 0.002041 X1X2X3_7 5 0.50 + 0.02347 X1X2X3_7 6 0.25 - 0.02347 X1X2X3_7 6 0.50 + 0.01276 \\ & X1X2X3_7 7 0.25 - 0.01276 X1X2X3_7 7 0.50 - 0.0301 X1X2X3_8 1 0.25 + 0.03010 X1X2X3_8 \\ & 1 0.50 + 0.02347 X1X2X3_8 2 0.25 - 0.02347 X1X2X3_8 2 0.50 + 0.01633 X1X2X3_8 3 0.25 - \\ & 0.01633 X1X2X3_8 3 0.50 + 0.05204 X1X2X3_8 4 0.25 - 0.05204 X1X2X3_8 4 0.50 + 0.02704 \\ & X1X2X3_8 5 0.25 - 0.02704 X1X2X3_8 5 0.50 - 0.05153 X1X2X3_8 6 0.25 + 0.05153 X1X2X3_8 \\ & 6 0.50 - 0.03724 X1X2X3_8 7 0.25 + 0.03724 X1X2X3_8 7 0.50 \end{aligned} $

Lanjutan **Tabel 3.** Model Matematis *Full Factorial Design*

Respon Paramete r(Y)	Model Matematis
Lebar (Width) Hasil Proses	$5.154 + 0.03520 X1_2 - 0.1791 X1_3 + 0.02449 X1_4 + 0.02449 X1_5 + 0.01735 X1_6 + 0.03163 X1_7 + 0.04592 X1_8 + 0.02449 X2_1 - 0.1291 X2_2 + 0.03163 X2_3 + 0.006633 X2_4 + 0.01020 X2_5 + 0.03878 X2_6 + 0.01735 X2_7 - 0.05510 X3_0.25 + 0.05510 X3_0.50 - 0.08878$ $X1X2_2 1 + 0.1648 X1X2_2 2 - 0.02092 X1X2_2 3 - 0.02092 X1X2_2 4 - 0.04949 X1X2_2 5 + 0.02194 X1X2_2 6 - 0.006633 X1X2_2 7 + 0.1755 X1X2_3 1 - 0.9709 X1X2_3 2 + 0.1684 X1X2_3 3 + 0.1184 X1X2_3 4 + 0.1648 X1X2_3 5 + 0.1862 X1X2_3 6 + 0.1577 X1X2_3 7 - 0.05306 X1X2_4 1 + 0.1505 X1X2_4 2 - 0.01020 X1X2_4 3 + 0.01480 X1X2_4 4 - 0.01378 X1X2_4 5 - 0.04235 X1X2_4 6 - 0.04592 X1X2_4 7 - 0.003061 X1X2_5 1 + 0.1755 X1X2_5 2 + 0.01480 X1X2_5 3 - 0.03520 X1X2_5 4 - 0.03878 X1X2_5 5 - 0.06735 X1X2_5 6 - 0.04592 X1X2_5 7 - 0.04592 X1X2_6 1 + 0.1577 X1X2_6 2 - 0.05306 X1X2_6 3 - 0.003061 X1X2_6 4 - 0.006633 X1X2_6 5 - 0.03520 X1X2_6 6 - 0.01378 X1X2_6 7 + 0.01480 X1X2_7 1 + 0.1684 X1X2_7 2 - 0.06735 X1X2_7 3 - 0.04235 X1X2_7 4 - 0.04592 X1X2_7 5 + 0.000510 X1X2_7 6 - 0.02806 X1X2_7 7 + 0.000510 X1X2_8 1 + 0.1541 X1X2_8 2 - 0.03163 X1X2_8 3 - 0.03163 X1X2_8 4 - 0.01020 X1X2_8 5 - 0.06378 X1X2_8 6 - 0.01735 X1X2_8 7 + 0.04439 X1X3_2 0.25 - 0.04439 X1X3_2 0.50 - 0.1699 X1X3_3 0.25 + 0.1699 X1X3_3 0.50 + 0.01939 X1X3_4 0.25 - 0.01939 X1X3_4 0.50 + 0.04082 X1X3_5 0.25 - 0.04082 X1X3_5 0.50 + 0.01224 X1X3_6 0.25 - 0.01224 X1X3_6 0.50 + 0.02653 X1X3_7 0.25 - 0.02653 X1X3_7 0.50 + 0.02653 X1X3_8 0.25 - 0.02653 X1X3_8 0.50 + 0.005102 X2X3_1 0.25 - 0.005102 X2X3_1 0.50 - 0.1556 X2X3_2 0.25 + 0.1556 X2X3_2 0.50 + 0.04796 X2X3_3 0.25 - 0.04796 X2X3_3 0.50 + 0.03010 X2X3_4 0.25 - 0.03010 X2X3_4 0.50 + 0.03367 X2X3_5 0.25 - 0.03367 X2X3_5 0.50 + 0.01224 X2X3_6 0.25 - 0.01224 X2X3_6 0.50 + 0.02653 X2X3_7 0.25 - 0.02653 X2X3_7 0.50 - 0.01939 X1X2X3_2 1 0.25 + 0.01939 X1X2X3_2 1 0.50 + 0.1413 X1X2X3_2 2 0.25 - 0.1413 X1X2X3_2 2 0.50 - 0.03724 X1X2X3_2 3 0.25 + 0.03724 X1X2X3_2 3 0.50 + 0.005612 X1X2X3_2 4 0.25 - 0.005612 X1X2X3_2 4 0.50 - 0.02296 X1X2X3_2 5 0.25 + 0.02296 X1X2X3_2 5 0.50 - 0.001531 X1X2X3_2 6 0.25 + 0.001531 X1X2X3_2 6 0.50 - 0.06582 X1X2X3_2 7 0.25 + 0.06582 X1X2X3_2 7 0.50 + 0.1449 X1X2X3_3 1 0.25 - 0.1449 X1X2X3_3 1 0.50 - 0.9944 X1X2X3_3 2 0.25 + 0.9944 X1X2X3_3 2 0.50 + 0.1520 X1X2X3_3 3 0.25 - 0.1520 X1X2X3_3 3 0.50 + 0.09490 X1X2X3_3 4 0.25 - 0.09490 X1X2X3_3 4 0.50 + 0.1913 X1X2X3_3 5 0.25 - 0.1913 X1X2X3_3 5 0.50 + 0.2128 X1X2X3_3 6 0.25 - 0.2128 X1X2X3_3 6 0.50 + 0.1985 X1X2X3_3 7 0.25 - 0.1985 X1X2X3_3 7 0.50 - 0.01939 X1X2X3_4 1 0.25 + 0.01939 X1X2X3_4 1 0.50 + 0.1913 X1X2X3_4 2 0.25 - 0.1913 X1X2X3_4 2 0.50 - 0.01224 X1X2X3_4 3 0.25 + 0.01224 X1X2X3_4 3 0.50 + 0.005612 X1X2X3_4 4 0.25 - 0.005612 X1X2X3_4 4 0.50 - 0.07296 X1X2X3_4 5 0.25 + 0.07296 X1X2X3_4 5 0.50 - 0.05153 X1X2X3_4 6 0.25 + 0.05153 X1X2X3_4 6 0.50 - 0.04082 X1X2X3_4 7 0.25 + 0.04082 X1X2X3_4 7 0.50 + 0.009184 X1X2X3_5 1 0.25 + 0.009184 X1X2X3_5 1 0.50 + 0.1949 X1X2X3_5 2 0.25 - 0.1949 X1X2X3_5 2 0.50 - 0.008673 X1X2X3_5 3 0.25 + 0.008673 X1X2X3_5 3 0.50 - 0.06582 X1X2X3_5 4 0.25 + 0.06582 X1X2X3_5 4 0.50 - 0.04796 X1X2X3_5 5 0.25 + 0.04796 X1X2X3_5 5 0.50 - 0.01224 X1X2X3_5 6 0.25 + 0.01224 X1X2X3_5 6 0.50 - 0.01224 X1X2X3_6 1 0.25 + 0.01224 X1X2X3_6 1 0.50 + 0.1485 X1X2X3_6 2 0.25 - 0.1485 X1X2X3_6 2 0.50 - 0.005102 X1X2X3_6 3 0.25 + 0.005102 X1X2X3_6 3 0.50 - 0.01224 X1X2X3_6 4 0.25 + 0.01224 X1X2X3_6 4 0.50 - 0.01582 X1X2X3_6 5 0.25 + 0.01582 X1X2X3_6 5 0.50 - 0.04439 X1X2X3_6 6 0.25 + 0.04439 X1X2X3_6 6 0.50 - 0.05867 X1X2X3_6 7 0.25 + 0.05867 X1X2X3_6 7 0.50 - 0.001531 X1X2X3_7 1 0.25 + 0.001531 X1X2X3_7 1 0.50 + 0.1592 X1X2X3_7 2 0.25 - 0.1592 X1X2X3_7 2 0.50 - 0.06939 X1X2X3_7 3 0.25 + 0.06939 X1X2X3_7 3 0.50 - 0.05153 X1X2X3_7 4 0.25 + 0.05153 X1X2X3_7 4 0.50 - 0.005102 X1X2X3_7 5 0.25 + 0.005102 X1X2X3_7 5 0.50 - 0.008673 X1X2X3_7 6 0.25 + 0.008673 X1X2X3_7 6 0.50 - 0.02296 X1X2X3_7 7 0.25 + 0.02296 X1X2X3_7 7 0.50 - 0.1015 X1X2X3_8 1 0.25 + 0.1015 X1X2X3_8 1 0.50 - 0.01939 X1X2X3_8 2 0.25 + 0.1592 X1X2X3_8 2 0.50 - 0.01939 X1X2X3_8 3 0.25 + 0.01939 X1X2X3_8 3 0.50 + 0.02347 X1X2X3_8 4 0.25 - 0.02347 X1X2X3_8 4 0.50 - 0.005102 X1X2X3_8 5 0.25 + 0.005102 X1X2X3_8 5 0.50 - 0.05867 X1X2X3_8 6 0.25 + 0.05867 X1X2X3_8 6 0.50 + 0.002041 X1X2X3_8 7 0.25 - 0.002041 X1X2X3_8 7 0.50$

Lanjutan **Tabel 3.** Model Matematis *Full Factorial Design*

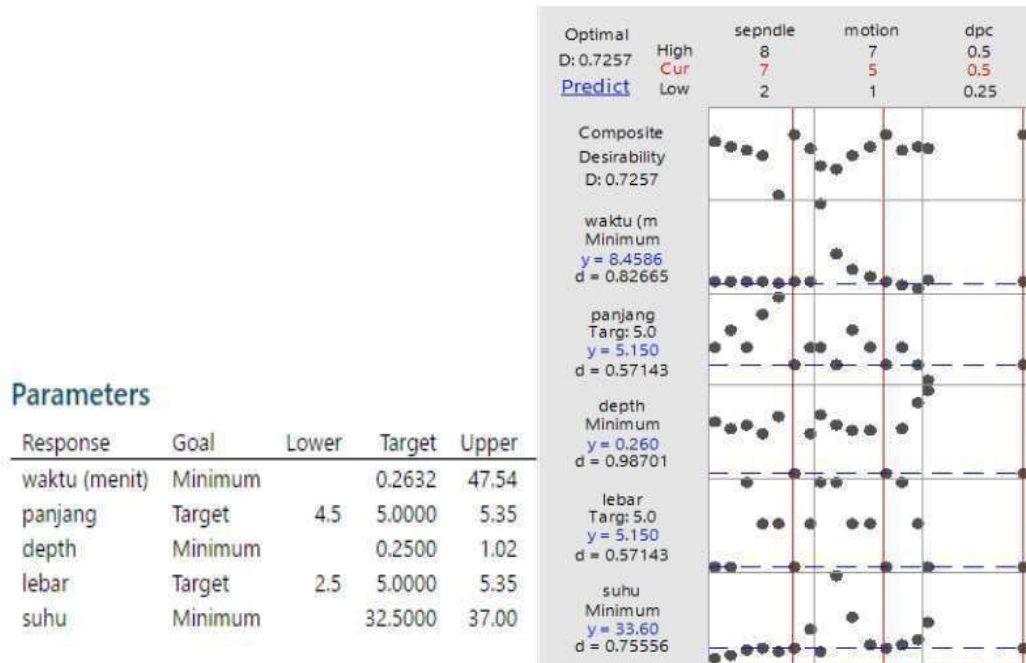
Respon Paramete r(Y)	Model Matematis
	$0.5405 + 0.05735 X1_2 - 0.04122 X1_3 - 0.04765 X1_4 + 0.05378 X1_5 - 0.005510 X1_6 - 0.01194 X1_7 - 0.004796 X1_8 - 0.01051 X2_1 + 0.02663 X2_2 + 0.006633 X2_3 - 0.01480 X2_4 - 0.01337 X2_5 - 0.02337 X2_6 + 0.02878 X2_7 - 0.07010 X3_0.25+ 0.07010 X3_0.50 - 0.02735 X1X2_2 1 + 0.1555 X1X2_2 2 - 0.08949 X1X2_2 3- 0.1231 X1X2_2 4 - 0.1045 X1X2_2 5 - 0.01949 X1X2_2 6 + 0.2084 X1X2_2 7+ 0.06622 X1X2_3 1 - 0.08592 X1X2_3 2 - 0.01592 X1X2_3 3 - 0.02949 X1X2_3 4- 0.02592 X1X2_3 5 - 0.005918 X1X2_3 6 + 0.09694 X1X2_3 7 + 0.06265 X1X2_4 1- 0.009490 X1X2_4 2 + 0.04551 X1X2_4 3 + 0.03194 X1X2_4 4 - 0.03949 X1X2_4 5 - 0.01449 X1X2_4 6 - 0.07663 X1X2_4 7 - 0.008776 X1X2_5 1 + 0.1391 X1X2_5 2+ 0.1591 X1X2_5 3 - 0.1045 X1X2_5 4 - 0.03092 X1X2_5 5 - 0.1509 X1X2_5 6- 0.003061 X1X2_5 7 - 0.1045 X1X2_6 1 - 0.1766 X1X2_6 2 + 0.1434 X1X2_6 3+ 0.02480 X1X2_6 4 + 0.1784 X1X2_6 5 + 0.1234 X1X2_6 6 - 0.1888 X1X2_6 7+ 0.07694 X1X2_7 1 - 0.01020 X1X2_7 2 - 0.1502 X1X2_7 - 0.008776 X1X2_7 4- 0.005204 X1X2_7 5 + 0.09480 X1X2_7 6 + 0.002653 X1X2_7 7 - 0.06520 X1X2_8 1- 0.01235 X1X2_8 2 - 0.09235 X1X2_8 3+ 0.2091 X1X2_8 4 + 0.02765 X1X2_8 5- 0.02735 X1X2_8 6 - 0.03949 X1X2_8 7 + 0.03367 X1X3_2 0.25 - 0.03367 X1X3_2 0.50- 0.01204 X1X3_3 0.25 + 0.01204 X1X3_3 0.50 - 0.05847 X1X3_4 0.25+ 0.05847 X1X3_4 0.50 + 0.01439 X1X3_5 0.25- 0.01439 X1X3_5 0.50- 0.04204 X1X3_6 0.25 + 0.04204 X1X3_6 0.50 + 0.07439 X1X3_7 0.25- 0.07439 X1X3_7 0.50 - 0.009898 X1X3_8 0.25 + 0.009898 X1X3_8 0.50- 0.05561 X2X3_1 0.25 + 0.05561 X2X3_1 0.50 - 0.001327 X2X3_2 0.25+ 0.001327 X2X3_2 0.50 + 0.01439 X2X3_3 0.25 - 0.01439 X2X3_3 0.50 + 0.002959 X2X3_4 0.25 - 0.002959 X2X3_4 0.50 + 0.09582 X2X3_5 0.25- 0.09582 X2X3_5 0.50 - 0.05561 X2X3_6 0.25 + 0.05561 X2X3_6 0.50- 0.000612 X2X3_7 0.25 + 0.000612 X2X3_7 0.50 - 0.01796 X1X2X3_2 1 0.25+ 0.01796 X1X2X3_2 1 0.50 + 0.06776 X1X2X3_2 2 0.25 - 0.06776 X1X2X3_2 2 0.50+ 0.02704 X1X2X3_2 3 0.25 - 0.02704 X1X2X3_2 3 0.50 - 0.06653 X1X2X3_2 4 0.25+ 0.06653 X1X2X3_2 4 0.50 - 0.1494 X1X2X3_2 5 0.25 + 0.1494 X1X2X3_2 5 0.50+ 0.03704 X1X2X3_2 6 0.25 - 0.03704 X1X2X3_2 6 0.50 + 0.1020 X1X2X3_2 7 0.25- 0.1020 X1X2X3_2 7 0.50 + 0.1528 X1X2X3_3 1 0.25 - 0.1528 X1X2X3_3 1 0.50- 0.05653 X1X2X3_3 2 0.25 + 0.05653 X1X2X3_3 2 0.50 - 0.06224 X1X2X3_3 3 0.25+ 0.06224 X1X2X3_3 3 0.50 + 0.03418 X1X2X3_3 4 0.25 - 0.03418 X1X2X3_3 4 0.50- 0.08367 X1X2X3_3 5 0.25 + 0.08367 X1X2X3_3 5 0.50 + 0.1078 X1X2X3_3 6 0.25 - 0.1078 X1X2X3_3 6 0.50 - 0.09224 X1X2X3_3 7 0.25 + 0.09224 X1X2X3_3 7 0.50- 0.07082 X1X2X3_4 1 0.25 + 0.07082 X1X2X3_4 1 0.50 + 0.01990 X1X2X3_4 2 0.25- 0.01990 X1X2X3_4 2 0.50 + 0.01918 X1X2X3_4 3 0.25 - 0.01918 X1X2X3_4 3 0.50 + 0.02561 X1X2X3_4 4 0.25 - 0.02561 X1X2X3_4 4 0.50 - 0.07724 X1X2X3_4 5 0.25+ 0.07724 X1X2X3_4 5 0.50 $
Depth of Cut Hasil Proses	

Lanjutan **Tabel 3.** Model Matematis *Full Factorial Design*

Respon Paramete r(Y)	Model Matematis
Temperatu r Mata Pahat Conical 3 mm	$ \begin{aligned} & 34.97 - 0.1306 X1_2 - 0.02347 X1_3 + 0.01939 X1_4 + 0.06224 X1_5 - 0.1306 X1_6 + 0.1694 \\ & X1_7 + 0.03367 X1_8 + 0.1194 X2_1 + 0.8694 X2_2 - 0.09490 X2_3 + 0.04082 X2_4 - 0.8378 \\ & X2_5 + 0.04796 X2_6 - 0.1449 X2_7 + 1.084 X3_0.25 - 1.084 X3_0.50 - 0.01224 X1X2_2 1 + \\ & 0.08776 X1X2_2 2 - 0.04796 X1X2_2 3 - 0.3837 X1X2_2 4 - 0.05510 X1X2_2 5 + 0.1092 \\ & X1X2_2 6 + 0.3020 X1X2_2 7 + 0.1806 X1X2_3 1 - 0.2694 X1X2_3 2 - 0.2051 X1X2_3 3 + \\ & 0.2592 X1X2_3 4 - 0.2122 X1X2_3 5 + 0.4520 X1X2_3 6 - 0.2051 X1X2_3 7 + 0.2878 X1X2_4 \\ & 1 - 0.3622 X1X2_4 2 + 0.2520 X1X2_4 3 - 0.1337 X1X2_4 4 + 0.04490 X1X2_4 5 - 0.1908 \\ & X1X2_4 6 + 0.1020 X1X2_4 7 + 0.09490 X1X2_5 1 - 0.3051 X1X2_5 2 - 0.04082 X1X2_5 3 - \\ & 0.1765 X1X2_5 4 + 0.2020 X1X2_5 5 - 0.1337 X1X2_5 6 + 0.3592 X1X2_5 7 - 0.01224 \\ & X1X2_6 1 + 0.03776 X1X2_6 2 - 0.2980 X1X2_6 3 + 0.5663 X1X2_6 4 + 0.09490 X1X2_6 5 - \\ & 0.09082 X1X2_6 6 - 0.2980 X1X2_6 7 - 0.6622 X1X2_7 1 + 0.6378 X1X2_7 2 + 0.3020 \\ & X1X2_7 3 - 0.08367 X1X2_7 4 - 0.1551 X1X2_7 5 + 0.05918 X1X2_7 6 - 0.09796 X1X2_7 7 + \\ & 0.1235 X1X2_8 1 + 0.1735 X1X2_8 2 + 0.03776 X1X2_8 3 - 0.04796 X1X2_8 4 + 0.08061 \\ & X1X2_8 5 - 0.2051 X1X2_8 6 - 0.1622 X1X2_8 7 + 0.01633 X1X3_2 0.25 - 0.01633 X1X3_2 \\ & 0.50 + 0.1235 X1X3_3 0.25 - 0.1235 X1X3_3 0.50 + 0.1235 X1X3_4 0.25 - 0.1235 X1X3_4 \\ & 0.50 - 0.1337 X1X3_5 0.25 + 0.1337 X1X3_5 0.50 + 0.1163 X1X3_6 0.25 - 0.1163 X1X3_6 \\ & 0.50 - 0.2551 X1X3_7 0.25 + 0.2551 X1X3_7 0.50 + 0.009184 X1X3_8 0.25 - 0.009184 \\ & X1X3_8 0.50 + 0.02347 X2X3_1 0.25 - 0.02347 X2X3_1 0.50 - 0.6408 X2X3_2 0.25 + 0.6408 \\ & X2X3_2 0.50 + 0.009184 X2X3_3 0.25 - 0.009184 X2X3_3 0.50 + 0.4020 X2X3_4 0.25 - \\ & 0.4020 X2X3_4 0.50 - 0.5051 X2X3_5 0.25 + 0.5051 X2X3_5 0.50 + 0.3949 X2X3_6 0.25 - \\ & 0.3949 X2X3_6 0.50 + 0.3163 X2X3_7 0.25 - 0.3163 X2X3_7 0.50 - 0.6735 X1X2X3_2 1 0.25 \\ & + 0.6735 X1X2X3_2 1 0.50 + 0.5408 X1X2X3_2 2 0.25 - 0.5408 X1X2X3_2 2 0.50 - 0.3092 \\ & X1X2X3_2 3 0.25 + 0.3092 X1X2X3_2 3 0.50 - 0.1020 X1X2X3_2 4 0.25 + 0.1020 X1X2X3_2 \\ & 4 0.50 + 0.2551 X1X2X3_2 5 0.25 - 0.2551 X1X2X3_2 5 0.50 - 0.1949 X1X2X3_2 6 0.25 + \\ & 0.1949 X1X2X3_2 6 0.50 + 0.4837 X1X2X3_2 7 0.25 - 0.4837 X1X2X3_2 7 0.50 - 0.7806 \\ & X1X2X3_3 1 0.25 + 0.7806 X1X2X3_3 1 0.50 + 0.4837 X1X2X3_3 2 0.25 - 0.4837 X1X2X3_3 \\ & 2 0.50 + 0.1337 X1X2X3_3 3 0.25 - 0.1337 X1X2X3_3 3 0.50 - 0.1592 X1X2X3_3 4 0.25 + \\ & 0.1592 X1X2X3_3 4 0.50 - 0.1020 X1X2X3_3 5 0.25 + 0.1020 X1X2X3_3 5 0.50 - 0.1520 \\ & X1X2X3_3 6 0.25 + 0.1520 X1X2X3_3 6 0.50 + 0.5765 X1X2X3_3 7 0.25 - 0.5765 X1X2X3_3 \\ & 7 0.50 - 0.4306 X1X2X3_4 1 0.25 + 0.4306 X1X2X3_4 1 0.50 + 0.7337 X1X2X3_4 2 0.25 - \\ & 0.7337 X1X2X3_4 2 0.50 - 0.4663 X1X2X3_4 3 0.25 + 0.4663 X1X2X3_4 3 0.50 - 0.1092 \\ & X1X2X3_4 4 0.25 + 0.1092 X1X2X3_4 4 0.50 - 0.002041 X1X2X3_4 5 0.25 + 0.002041 \\ & X1X2X3_4 5 0.50 + 0.2480 X1X2X3_4 6 0.25 - 0.2480 X1X2X3_4 6 0.50 + 0.02653 \\ & X1X2X3_4 7 0.25 - 0.02653 X1X2X3_4 7 0.50 + 0.1765 X1X2X3_5 1 0.25 - 0.1765 X1X2X3_5 \\ & 1 0.50 - 0.6092 X1X2X3_5 2 0.25 + 0.6092 X1X2X3_5 2 0.50 + 0.4408 X1X2X3_5 3 0.25 - \\ & 0.4408 X1X2X3_5 3 0.50 + 0.04796 X1X2X3_5 4 0.25 - 0.04796 X1X2X3_5 4 0.50 + 0.3551 \\ & X1X2X3_5 5 0.25 - 0.3551 X1X2X3_5 5 0.50 + 0.2051 X1X2X3_5 6 0.25 - 0.2051 X1X2X3_5 \\ & 6 0.50 - 0.6163 X1X2X3_5 7 0.25 + 0.6163 X1X2X3_5 7 0.50 + 0.8265 X1X2X3_6 1 0.25 - \\ & 0.8265 X1X2X3_6 1 0.50 - 0.5092 X1X2X3_6 2 0.25 + 0.5092 X1X2X3_6 2 0.50 + 0.5408 \\ & X1X2X3_6 3 0.25 - 0.5408 X1X2X3_6 3 0.50 - 0.2520 X1X2X3_6 4 0.25 + 0.2520 X1X2X3_6 \\ & 4 0.50 + 0.005102 X1X2X3_6 5 0.25 - 0.005102 X1X2X3_6 5 0.50 - 0.1949 X1X2X3_6 6 0.25 \\ & + 0.1949 X1X2X3_6 6 0.50 - 0.4163 X1X2X3_6 7 0.25 + 0.4163 X1X2X3_6 7 0.50 + 0.3480 \\ & X1X2X3_7 1 0.25 - 0.3480 X1X2X3_7 1 0.50 - 0.3378 X1X2X3_7 2 0.25 + 0.3378 X1X2X3_7 \\ & 2 0.50 - 0.4878 X1X2X3_7 3 0.25 + 0.4878 X1X2X3_7 3 0.50 + 0.1694 X1X2X3_7 4 0.25 - \\ & 0.1694 X1X2X3_7 4 0.50 + 0.2265 X1X2X3_7 5 0.25 - 0.2265 X1X2X3_7 5 0.50 + 0.3265 \\ & X1X2X3_7 6 0.25 - 0.3265 X1X2X3_7 6 0.50 - 0.2449 X1X2X3_7 7 0.25 + 0.2449 X1X2X3_7 \\ & 7 0.50 + 0.5337 X1X2X3_8 1 0.25 - 0.5337 X1X2X3_8 1 0.50 - 0.3020 X1X2X3_8 2 0.25 + \\ & 0.3020 X1X2X3_8 2 0.50 + 0.1480 X1X2X3_8 3 0.25 - 0.1480 X1X2X3_8 3 0.50 + 0.4051 \\ & X1X2X3_8 4 0.25 - 0.4051 X1X2X3_8 4 0.50 - 0.7378 X1X2X3_8 5 0.25 + 0.7378 X1X2X3_8 \\ & 5 0.50 - 0.2378 X1X2X3_8 6 0.25 + 0.2378 X1X2X3_8 6 0.50 + 0.1908 X1X2X3_8 7 0.25 - \\ & 0.1908 X1X2X3_8 7 0.50 \end{aligned} $

C. Optimasi Plot Multi respon

Dari hasil formulasi model matematis pada Tabel 3 di atas, selanjutnya dilakukan optimasi plot multi respon. Tahapan tersebut bertujuan untuk mengetahui nilai optimal dari setiap faktor, level dan respon yang digunakan, sehingga akan diperoleh luaran berupa hasil nilai seting optimal dari mesin CNC Router G-Weike WK1212 untuk proses *engraving* terhadap material kayu mahoni menggunakan mata pahat *conical* 3 mm. Hasil nilai seting optimal tersebut ditunjukkan pada Gambar 3 di bawah, dimana diketahui menggunakan metode *full factorial design* dan optimasi plot multirespon diperoleh nilai seting optimal mesin adalah *spindle speed* 7 step, *motion speed* 5 step dan *depth per layer cut* 0.50 mm. Nilai komposisi seting tersebut terpilih berdasarkan nilai *desireability* tertinggi yaitu sebesar 0.7257 hal ini dikarenakan nilai *desireability* tersebut paling mendekati nilai 1, dimana semakin nilai *desireability* mendekati nilai 1 maka kombinasi komposisi tersebut terpilih secara optimal menurut metode yang digunakan.



Gambar 3. Hasil Optimasi Plot Multi Respon

Simpulan

Dari hasil dan pembahasan di atas telah diperoleh nilai setingan mesin secara optimal untuk proses *engraving* dari mesin CNC Router G-Weike WK1212 menggunakan mata pahat *Conical* 3 mm terhadap material kayu mahoni berdasarkan metode *Full Factorial Design* dan optimasi plot multi respon adalah *spindle speed* 7 step, *motion speed* 5 step dan *depth per layer cut* 0.50 mm dengan hasil prediksi optimal multi respon adalah waktu proses aktual minimum sebesar 8.4586 menit, panjang (*length*) hasil proses sebesar 5.15 cm, lebar (*width*) hasil proses sebesar 5.15 cm, total *depth per cut* hasil proses sebesar 0.26 cm dan temperatur mata pahat *conical* 3 mm minimum sebesar 33.6 °C. Hasil tersebut berbeda dengan pemanfaatan metode Taguchi dari penelitian sebelumnya yaitu diperoleh nilai seting optimal *spindle speed* 8 step, *motion speed* 7 step dan *depth per layer cut* 0.5 mm untuk objek mesin, proses, material dan parameter respon yang sama. Kemudian dengan metode yang sama untuk proses *cutting* dengan mata pahat *end mill* 3 mm dari hasil penelitian sebelumnya diperoleh nilai seting optimal yang berbeda pula yaitu *spindle speed* 7 step, *motion speed* 6 step dan *depth per layer cut* 0.25 mm. Semua perbedaan tersebut pun akan menghasilkan nilai *desireability* yang berbeda yang kemudian akan berpengaruh terhadap nilai hasil prediksi, penyebab perbedaan tersebut dikarenakan karakteristik dari masing-masing metode.

Daftar Pustaka

- [1] Herwin, S., dan Dewa, K.W., Optimasi Permesinan CNC Router untuk Proses Cutting Material Kayu Mahoni Menggunakan Mata Pahat End Mill 3mm Tungsten Carbide, *Jurnal Teknik Industri*, Universitas Trisakti, Vol.10, No.3, 2020, pp. 227-239.
- [2] Montgomery, C.D., *Design and Analysis of Experiment, Eight Edition*. New Jersey: John Wiley & Sons Inc, 2013.
- [3] Nataraj, M., Balasubramanian, K., dan Palanisamy, D., Optimization of Machining Parameters for CNC Turning of Al/Al₂O₃ MMC Using RSM Approach, *Materials Today*, Vol.5, 2018, pp.14265-14272.
- [4] Nur, A.B., Dewa, K.W., dan Tita, T., Metode Taguchi untuk Optimasi Proses Engraving CNC Router G- Weike WK1212 untuk Kayu Mahoni, *Jurnal Hasil Penelitian dan Karya Ilmiah dalam Bidang Teknik Industri*, Vol.7, No.2, 2021, pp. 98-103.
- [5] Vishnu, V.M., Sankaraiah, G., Yohan, M. dan Jeevan, R.H., Optimization of Parameters in CNC millingof P20 steel using Response Surface methodology and Taguchi Method, *Materials Today*. Vol.4, 2017, pp.9163-9169.
- [6] Vishnu, V.M., Sankaraiah, G., Yohan, M. dan Jeevan, R.H., Optimization of cutting Parameters and Prediction of Ra & MRR for machining of P20 Steel on CNC milling using Artificial Neural Networks, *Materials Today*, Vol.5, 2018, pp.27058-27064.
- [7] Wahjudi, D., dan San, G.S., Optimasi Proses Injeksi Dengan Metode Taguchi. *Jurnal Teknik Mesin*. Vol.3, No.1, 2001, pp. 24-28.